

Eingabe: Farbmimetrisches Reflexions-System NCS11

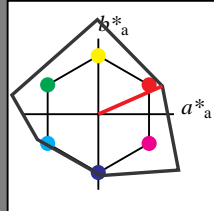
für Buntton  $h^* = lab \cdot h = 24/360 = 0.066$ 

LAB\*LCH, LAB\*NCH

D65: Buntton R

LCH\*Ma: 47 92 24

olv\*Ma: 1.0 0.0 0.0



NCS11; adaptierte CIELAB-Daten

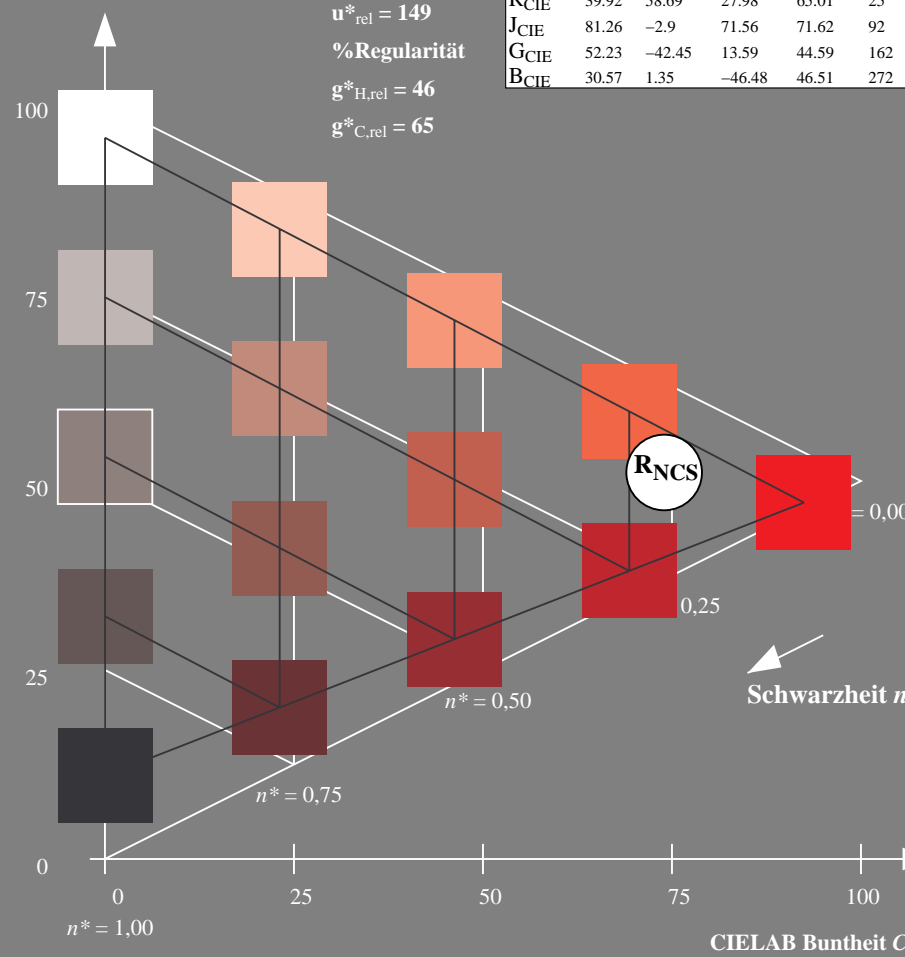
	$L^*=L^*_a$	$a^*_a$	$b^*_a$	$C^*_{ab,a}$	$h^*_{ab,a}$
R <sub>Ma</sub>	47.15	84.64	37.25	92.48	24
J <sub>Ma</sub>	91.37	-1.27	125.03	125.03	91
G <sub>Ma</sub>	63.07	-114.28	25.35	117.06	167
G50B <sub>Ma</sub>	59.47	-80.6	-33.45	87.28	203
B <sub>Ma</sub>	49.01	3.65	-81.19	81.28	273
B50R <sub>Ma</sub>	44.06	106.09	-73.93	129.32	325
N <sub>Ma</sub>	10.99	0.0	0.0	0.0	0
W <sub>Ma</sub>	95.41	0.0	0.0	0.0	0
R <sub>CIE</sub>	39.92	58.69	27.98	65.01	25
J <sub>CIE</sub>	81.26	-2.9	71.56	71.62	92
G <sub>CIE</sub>	52.23	-42.45	13.59	44.59	162
B <sub>CIE</sub>	30.57	1.35	-46.48	46.51	272

CIELAB-Helligkeit  $L^*$ 

%Umfang

 $u^*_{rel} = 149$ 

%Regularität

 $g^*_{H,rel} = 46$  $g^*_{C,rel} = 65$ 

UG390-7, 5 stufige Reihen für konstanten CIELAB Buntton 24/360 = 0.066 (links)

BAM-Prüfvorlage UG39; Farbmimetrische Systeme ORS18 &amp; ORS18input: cmy0\* setcmykcolor

D65: Koordinaten-Systeme von 5stufigen Farbreihen für 10 Bunttoninput: Startup (S) data dependend

Ausgabe: Farbmimetrisches Reflexions-System NCS11

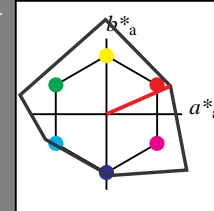
für Buntton  $h^* = lab \cdot h = 24/360 = 0.066$ 

LAB\*LCH, LAB\*NCH

D65: Buntton R

LCH\*Ma: 47 92 24

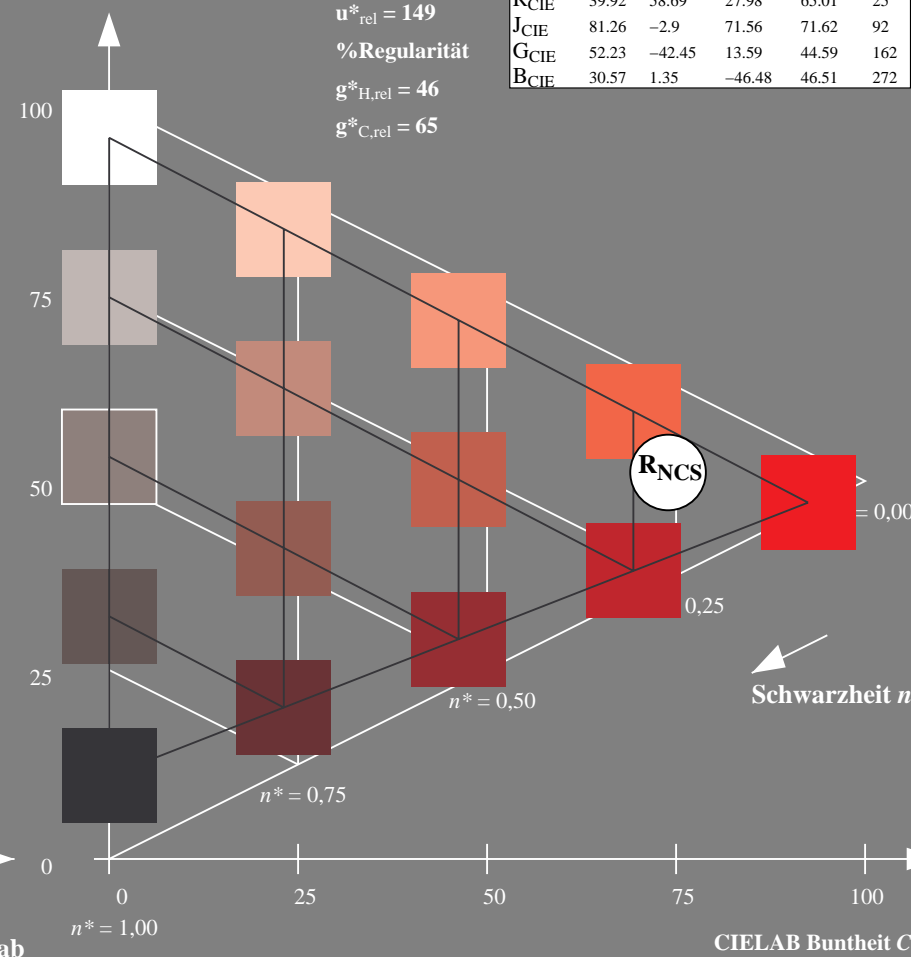
olv\*Ma: 1.0 0.0 0.0

CIELAB-Helligkeit  $L^*$ 

%Umfang

 $u^*_{rel} = 149$ 

%Regularität

 $g^*_{H,rel} = 46$  $g^*_{C,rel} = 65$ 

5 stufige Reihen für konstanten CIELAB Buntton 24/360 = 0.066 (rechts)

Eingabe: Farbmétrisches Reflexions-System NCS11

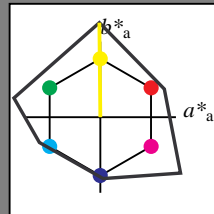
für Buntton  $h^* = lab \cdot h = 91/360 = 0.252$ 

LAB\*LCH, LAB\*NCH

D65: Buntton J

LCH\*Ma: 91 125 91

olv\*Ma: 1.0 1.0 0.0



NCS11; adaptierte CIELAB-Daten

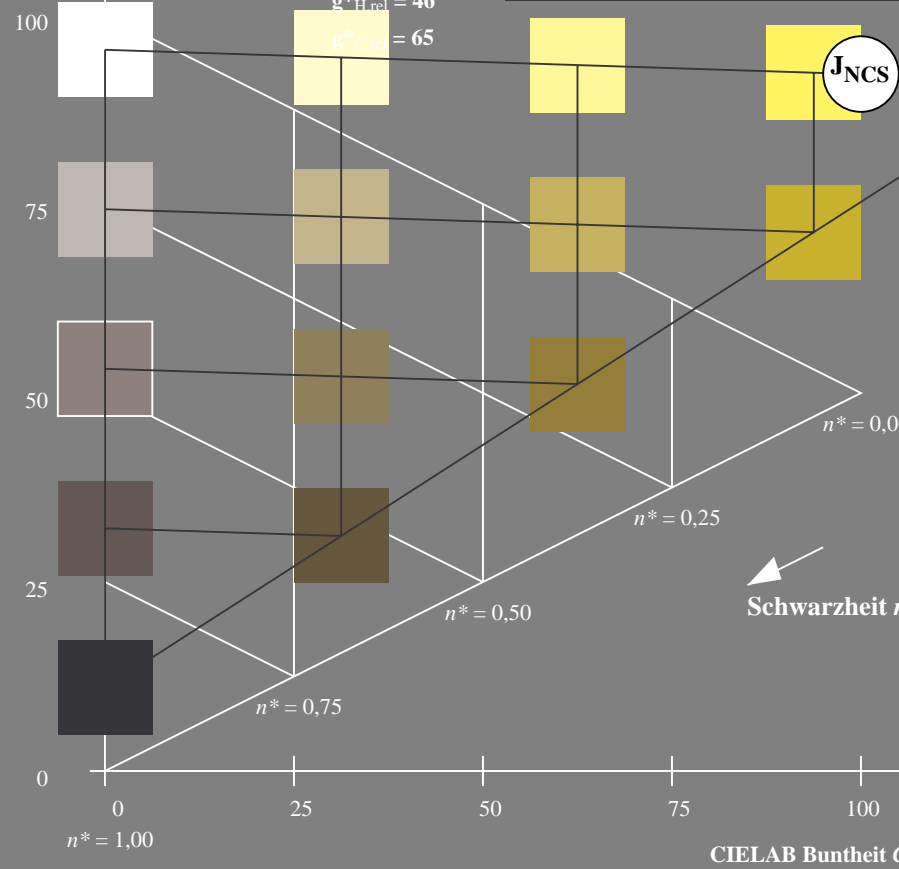
	$L^*=L^*_a$	$a^*_a$	$b^*_a$	$C^*_{ab,a}$	$h^*_{ab,a}$
R <sub>Ma</sub>	47.15	84.64	37.25	92.48	24
J <sub>Ma</sub>	91.37	-1.27	125.03	125.03	91
G <sub>Ma</sub>	63.07	-114.28	25.35	117.06	167
G50B <sub>Ma</sub>	59.47	-80.6	-33.45	87.28	203
B <sub>Ma</sub>	49.01	3.65	-81.19	81.28	273
B50R <sub>Ma</sub>	44.06	106.09	-73.93	129.32	325
N <sub>Ma</sub>	10.99	0.0	0.0	0.0	0
W <sub>Ma</sub>	95.41	0.0	0.0	0.0	0
R <sub>CIE</sub>	39.92	58.69	27.98	65.01	25
J <sub>CIE</sub>	81.26	-2.9	71.56	71.62	92
G <sub>CIE</sub>	52.23	-42.45	13.59	44.59	162
B <sub>CIE</sub>	30.57	1.35	-46.48	46.51	272

CIELAB-Helligkeit  $L^*$ 

%Umfang

 $u^*_{rel} = 149$ 

%Regularität

 $g^*_{H,rel} = 46$  $g^*_{C,rel} = 65$ 

UG390-7, 5 stufige Reihen für konstanten CIELAB Buntton 91/360 = 0.252 (links)

Ausgabe: Farbmétrisches Reflexions-System NCS11

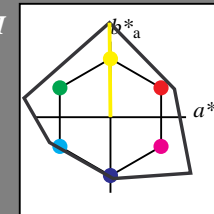
für Buntton  $h^* = lab \cdot h = 91/360 = 0.252$ 

LAB\*LCH, LAB\*NCH

D65: Buntton J

LCH\*Ma: 91 125 91

olv\*Ma: 1.0 1.0 0.0



NCS11; adaptierte CIELAB-Daten

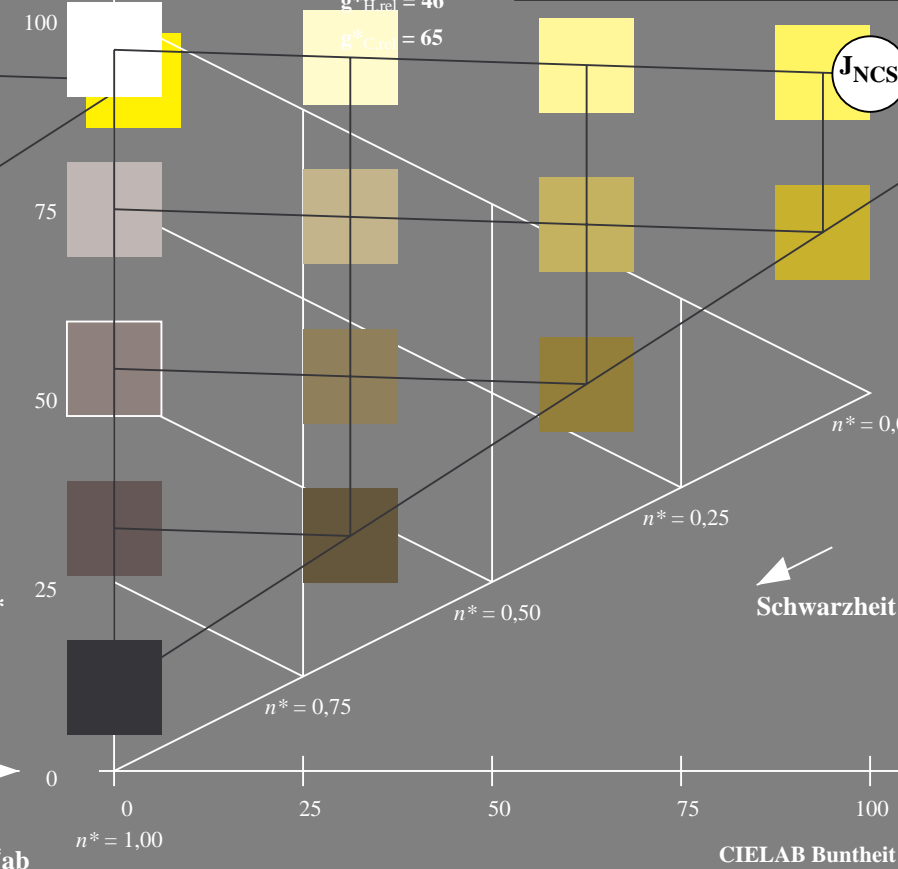
	$L^*=L^*_a$	$a^*_a$	$b^*_a$	$C^*_{ab,a}$	$h^*_{ab,a}$
R <sub>Ma</sub>	47.15	84.64	37.25	92.48	24
J <sub>Ma</sub>	91.37	-1.27	125.03	125.03	91
G <sub>Ma</sub>	63.07	-114.28	25.35	117.06	167
G50B <sub>Ma</sub>	59.47	-80.6	-33.45	87.28	203
B <sub>Ma</sub>	49.01	3.65	-81.19	81.28	273
B50R <sub>Ma</sub>	44.06	106.09	-73.93	129.32	325
N <sub>Ma</sub>	10.99	0.0	0.0	0.0	0
W <sub>Ma</sub>	95.41	0.0	0.0	0.0	0
R <sub>CIE</sub>	39.92	58.69	27.98	65.01	25
J <sub>CIE</sub>	81.26	-2.9	71.56	71.62	92
G <sub>CIE</sub>	52.23	-42.45	13.59	44.59	162
B <sub>CIE</sub>	30.57	1.35	-46.48	46.51	272

CIELAB-Helligkeit  $L^*$ 

%Umfang

 $u^*_{rel} = 149$ 

%Regularität

 $g^*_{H,rel} = 46$  $g^*_{C,rel} = 65$ 

5 stufige Reihen für konstanten CIELAB Buntton 91/360 = 0.252 (rechts)

BAM-Prüfvorlage UG39; Farbmétrik-Systeme ORS18 &amp; ORS18input: cmy0\* setcmykcolor

D65: Koordinaten-Systeme von 5stufigen Farbreihen für 10 Bunttoninput: Startup (S) data dependend

Eingabe: Farbmétrisches Reflexions-System NCS11

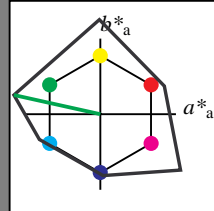
für Buntton  $h^* = lab^*h = 167/360 = 0.465$ 

LAB\*LCH, LAB\*NCH

D65: Buntton G

LCH\*Ma: 63 117 167

olv\*Ma: 0.0 1.0 0.0



NCS11; adaptierte CIELAB-Daten

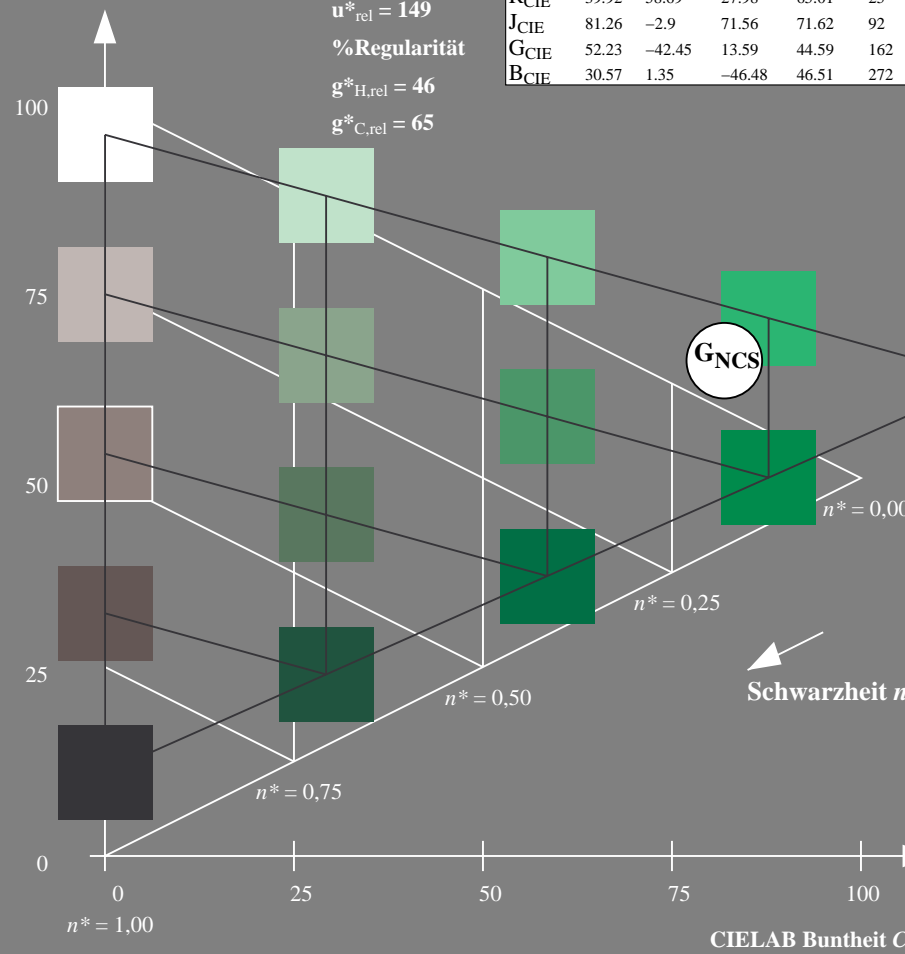
	$L^*=L^*_a$	$a^*_a$	$b^*_a$	$C^*_{ab,a}$	$h^*_{ab,a}$
R <sub>Ma</sub>	47.15	84.64	37.25	92.48	24
J <sub>Ma</sub>	91.37	-1.27	125.03	125.03	91
G <sub>Ma</sub>	63.07	-114.28	25.35	117.06	167
G50B <sub>Ma</sub>	59.47	-80.6	-33.45	87.28	203
B <sub>Ma</sub>	49.01	3.65	-81.19	81.28	273
B50R <sub>Ma</sub>	44.06	106.09	-73.93	129.32	325
N <sub>Ma</sub>	10.99	0.0	0.0	0.0	0
W <sub>Ma</sub>	95.41	0.0	0.0	0.0	0
R <sub>CIE</sub>	39.92	58.69	27.98	65.01	25
J <sub>CIE</sub>	81.26	-2.9	71.56	71.62	92
G <sub>CIE</sub>	52.23	-42.45	13.59	44.59	162
B <sub>CIE</sub>	30.57	1.35	-46.48	46.51	272

CIELAB-Helligkeit  $L^*$ 

%Umfang

 $u^*_{rel} = 149$ 

%Regularität

 $g^*_{H,rel} = 46$  $g^*_{C,rel} = 65$ UG390-7, 5 stufige Reihen für konstanten CIELAB Buntton  $167/360 = 0.465$  (links)

BAM-Prüfvorlage UG39; Farbmétrik-Systeme ORS18 &amp; ORS18input: cmy0\* setcmykcolor

D65: Koordinaten-Systeme von 5stufigen Farbreihen für 10 Bunttoninput: Startup (S) data dependend

Ausgabe: Farbmétrisches Reflexions-System NCS11

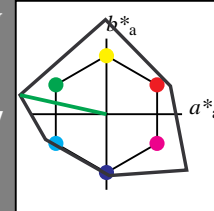
für Buntton  $h^* = lab^*h = 167/360 = 0.465$ 

LAB\*LCH, LAB\*NCH

D65: Buntton G

LCH\*Ma: 63 117 167

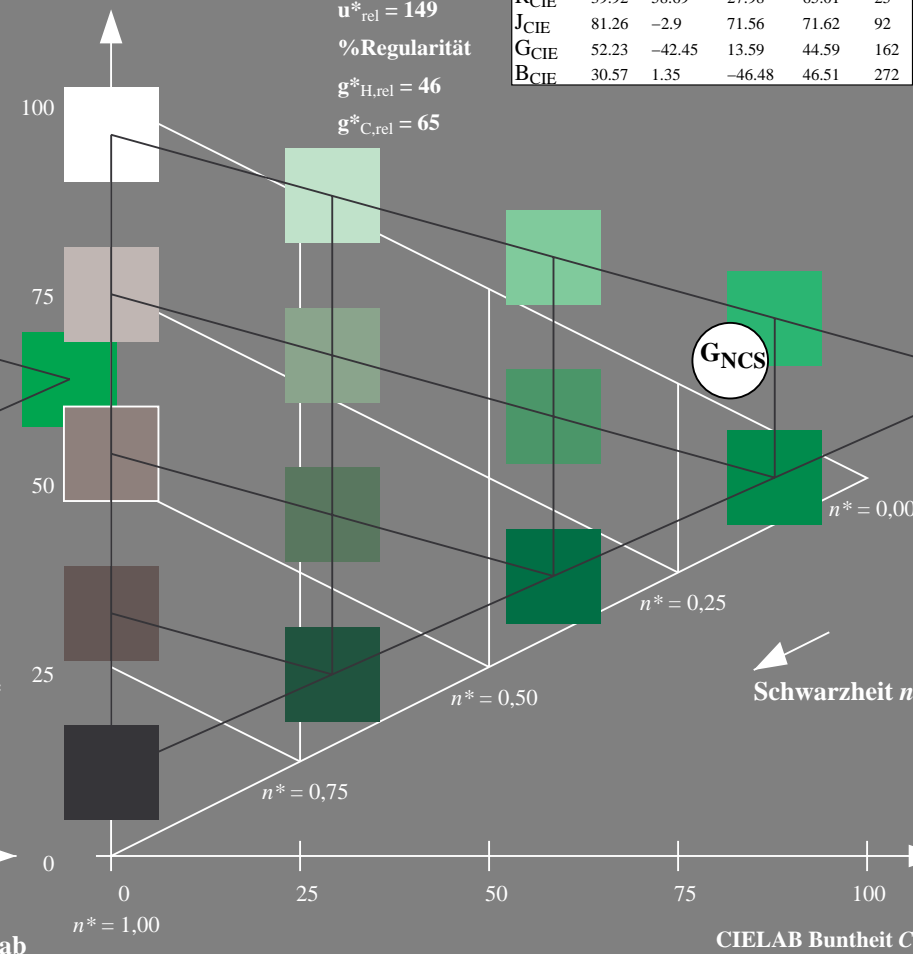
olv\*Ma: 0.0 1.0 0.0

CIELAB-Helligkeit  $L^*$ 

%Umfang

 $u^*_{rel} = 149$ 

%Regularität

 $g^*_{H,rel} = 46$  $g^*_{C,rel} = 65$ 5 stufige Reihen für konstanten CIELAB Buntton  $167/360 = 0.465$  (rechts)

Eingabe: Farbmatisches Reflexions-System NCS11

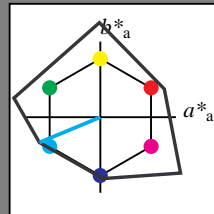
für Buntton  $h^* = lab \cdot h = 203/360 = 0.563$ 

LAB\*LCH, LAB\*NCH

D65: Buntton G50B

LCH\*Ma: 59 87 203

olv\*Ma: 0.0 1.0 1.0



NCS11; adaptierte CIELAB-Daten

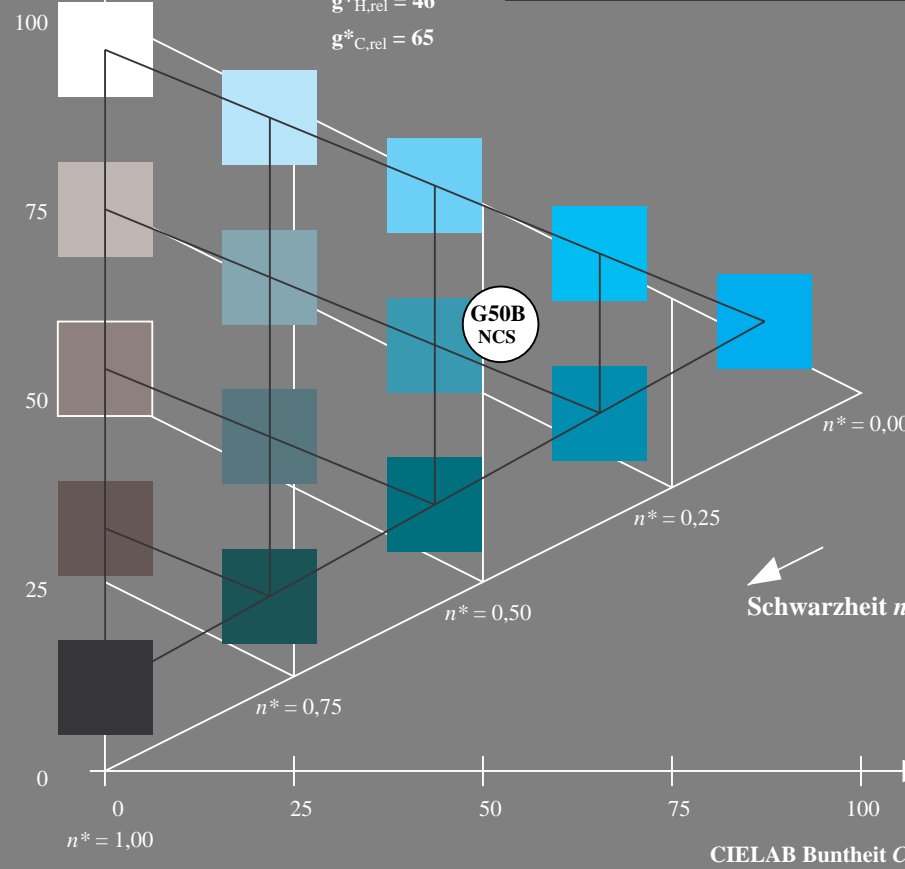
	$L^*=L_a^*$	$a_a^*$	$b_a^*$	$C_{ab,a}^*$	$h_{ab,a}^*$
R <sub>Ma</sub>	47.15	84.64	37.25	92.48	24
J <sub>Ma</sub>	91.37	-1.27	125.03	125.03	91
G <sub>Ma</sub>	63.07	-114.28	25.35	117.06	167
G50B <sub>Ma</sub>	59.47	-80.6	-33.45	87.28	203
B <sub>Ma</sub>	49.01	3.65	-81.19	81.28	273
B50R <sub>Ma</sub>	44.06	106.09	-73.93	129.32	325
N <sub>Ma</sub>	10.99	0.0	0.0	0.0	0
W <sub>Ma</sub>	95.41	0.0	0.0	0.0	0
R <sub>CIE</sub>	39.92	58.69	27.98	65.01	25
J <sub>CIE</sub>	81.26	-2.9	71.56	71.62	92
G <sub>CIE</sub>	52.23	-42.45	13.59	44.59	162
B <sub>CIE</sub>	30.57	1.35	-46.48	46.51	272

CIELAB-Helligkeit  $L^*$ 

%Umfang

 $u_{rel}^* = 149$ 

%Regularität

 $g_{H,rel}^* = 46$  $g_{C,rel}^* = 65$ 

UG390-7, 5 stufige Reihen für konstanten CIELAB Buntton 203/360 = 0.563 (links)

Ausgabe: Farbmatisches Reflexions-System NCS11

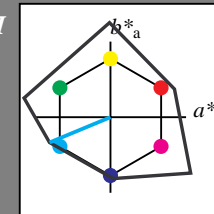
für Buntton  $h^* = lab \cdot h = 203/360 = 0.563$ 

LAB\*LCH, LAB\*NCH

D65: Buntton G50B

LCH\*Ma: 59 87 203

olv\*Ma: 0.0 1.0 1.0



NCS11; adaptierte CIELAB-Daten

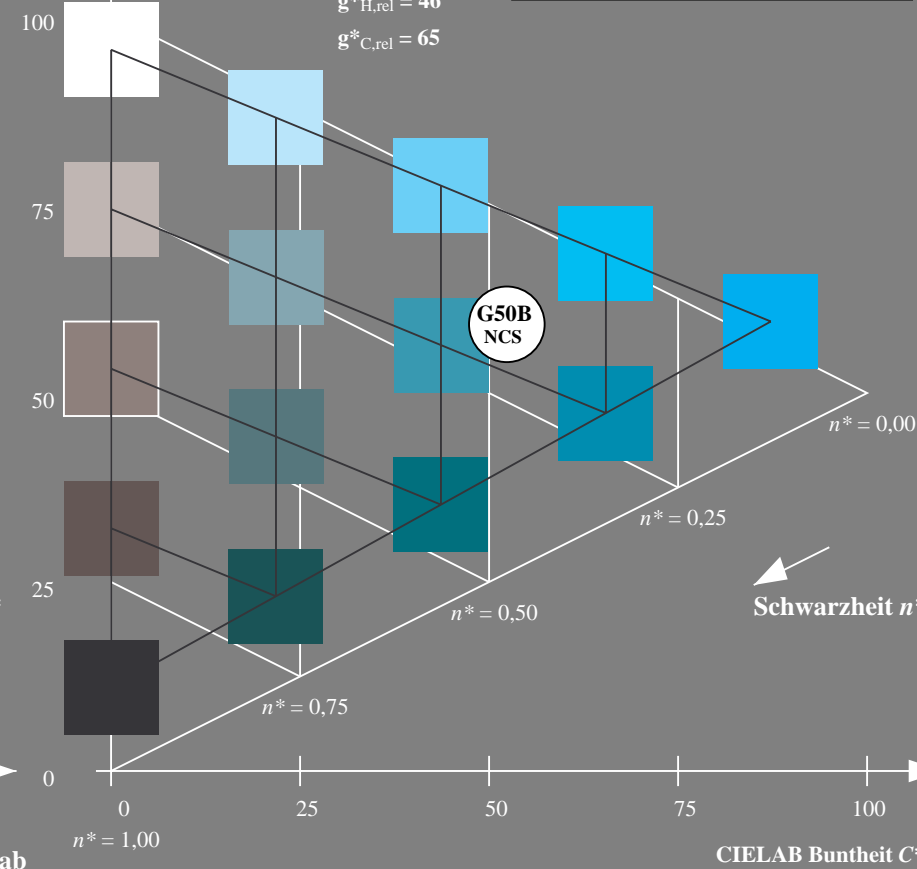
	$L^*=L_a^*$	$a_a^*$	$b_a^*$	$C_{ab,a}^*$	$h_{ab,a}^*$
R <sub>Ma</sub>	47.15	84.64	37.25	92.48	24
J <sub>Ma</sub>	91.37	-1.27	125.03	125.03	91
G <sub>Ma</sub>	63.07	-114.28	25.35	117.06	167
G50B <sub>Ma</sub>	59.47	-80.6	-33.45	87.28	203
B <sub>Ma</sub>	49.01	3.65	-81.19	81.28	273
B50R <sub>Ma</sub>	44.06	106.09	-73.93	129.32	325
N <sub>Ma</sub>	10.99	0.0	0.0	0.0	0
W <sub>Ma</sub>	95.41	0.0	0.0	0.0	0
R <sub>CIE</sub>	39.92	58.69	27.98	65.01	25
J <sub>CIE</sub>	81.26	-2.9	71.56	71.62	92
G <sub>CIE</sub>	52.23	-42.45	13.59	44.59	162
B <sub>CIE</sub>	30.57	1.35	-46.48	46.51	272

CIELAB-Helligkeit  $L^*$ 

%Umfang

 $u_{rel}^* = 149$ 

%Regularität

 $g_{H,rel}^* = 46$  $g_{C,rel}^* = 65$ 

5 stufige Reihen für konstanten CIELAB Buntton 203/360 = 0.563 (rechts)

BAM-Prüfvorlage UG39; Farbmatrik-Systeme ORS18 &amp; ORS18input: cmy0\* setcmykcolor

D65: Koordinaten-Systeme von 5stufigen Farbreihen für 10 Bunttoninput: Startup (S) data dependend

Eingabe: Farbmimetrisches Reflexions-System NCS11

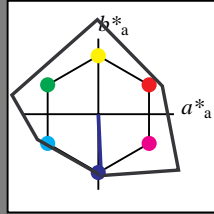
für Buntton  $h^* = lab \cdot h = 273/360 = 0.757$ 

LAB\*LCH, LAB\*NCH

D65: Buntton B

LCH\*Ma: 49 81 273

olv\*Ma: 0.0 0.0 1.0



NCS11; adaptierte CIELAB-Daten

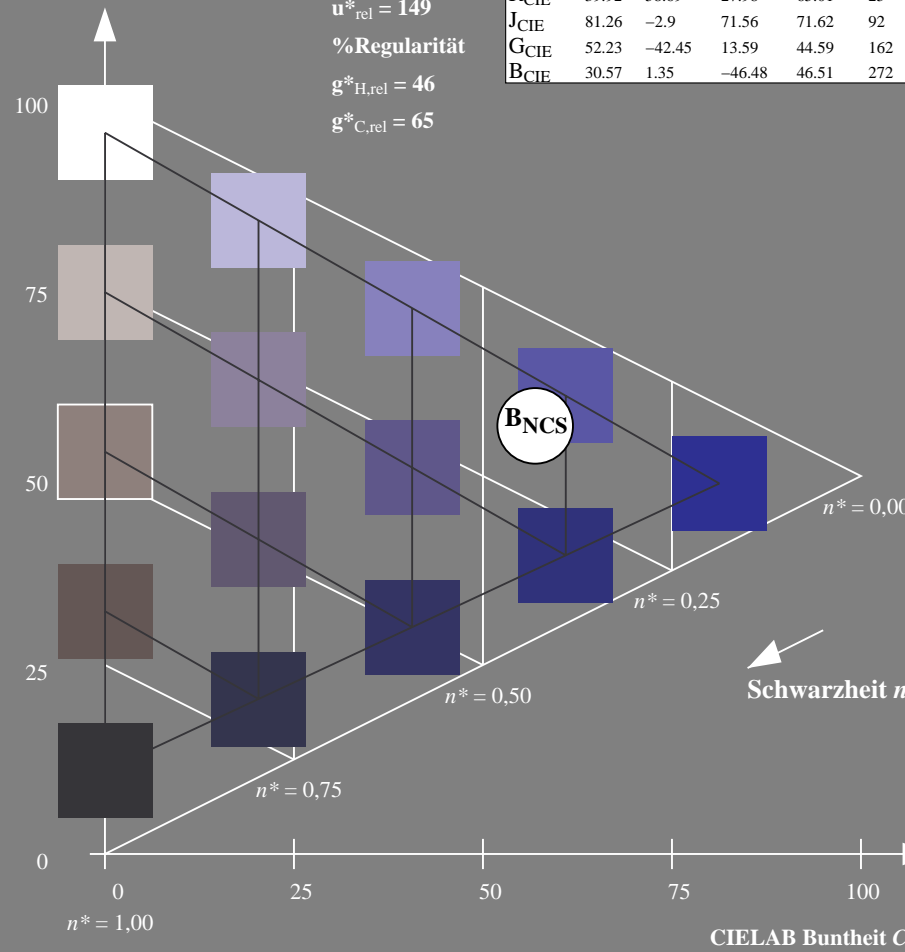
	$L^*=L_a^*$	$a_a^*$	$b_a^*$	$C_{ab,a}^*$	$h_{ab,a}^*$
R <sub>Ma</sub>	47.15	84.64	37.25	92.48	24
J <sub>Ma</sub>	91.37	-1.27	125.03	125.03	91
G <sub>Ma</sub>	63.07	-114.28	25.35	117.06	167
G50B <sub>Ma</sub>	59.47	-80.6	-33.45	87.28	203
B <sub>Ma</sub>	49.01	3.65	-81.19	81.28	273
B50R <sub>Ma</sub>	44.06	106.09	-73.93	129.32	325
N <sub>Ma</sub>	10.99	0.0	0.0	0.0	0
W <sub>Ma</sub>	95.41	0.0	0.0	0.0	0
R <sub>CIE</sub>	39.92	58.69	27.98	65.01	25
J <sub>CIE</sub>	81.26	-2.9	71.56	71.62	92
G <sub>CIE</sub>	52.23	-42.45	13.59	44.59	162
B <sub>CIE</sub>	30.57	1.35	-46.48	46.51	272

CIELAB-Helligkeit  $L^*$ 

%Umfang

 $u_{rel}^* = 149$ 

%Regularität

 $g_{H,rel}^* = 46$  $g_{C,rel}^* = 65$ UG390-7, 5 stufige Reihen für konstanten CIELAB Buntton  $273/360 = 0.757$  (links)

BAM-Prüfvorlage UG39; Farbmimetrische Systeme ORS18 &amp; ORS18input: cmy0\* setcmykcolor

D65: Koordinaten-Systeme von 5stufigen Farbreihen für 10 Bunttöneinput: Startup (S) data dependend

Ausgabe: Farbmimetrisches Reflexions-System NCS11

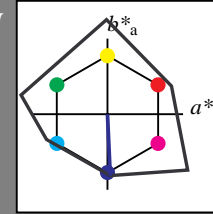
für Buntton  $h^* = lab \cdot h = 273/360 = 0.757$ 

LAB\*LCH, LAB\*NCH

D65: Buntton B

LCH\*Ma: 49 81 273

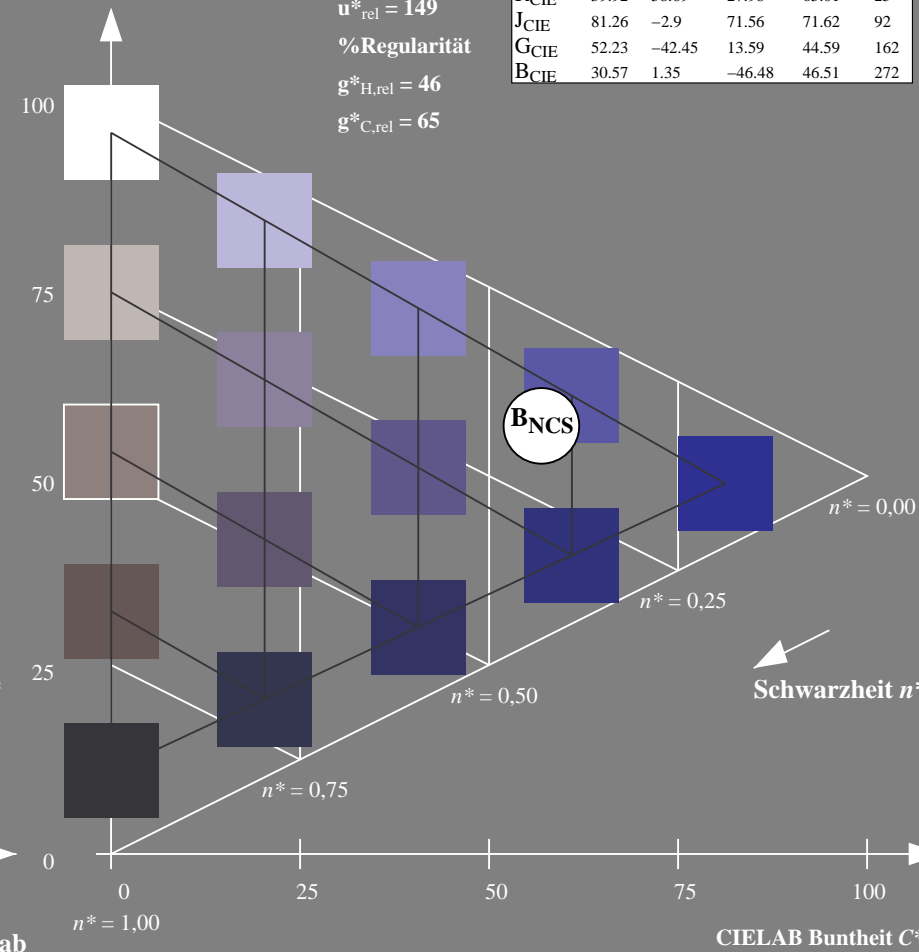
olv\*Ma: 0.0 0.0 1.0

CIELAB-Helligkeit  $L^*$ 

%Umfang

 $u_{rel}^* = 149$ 

%Regularität

 $g_{H,rel}^* = 46$  $g_{C,rel}^* = 65$ 5 stufige Reihen für konstanten CIELAB Buntton  $273/360 = 0.757$  (rechts)

Eingabe: Farbmétrisches Reflexions-System NCS11

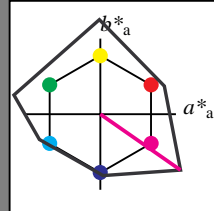
für Buntton  $h^* = lab^*h = 325/360 = 0.903$ 

LAB\*LCH, LAB\*NCH

D65: Buntton B50R

LCH\*Ma: 44 129 325

olv\*Ma: 1.0 0.0 1.0



NCS11; adaptierte CIELAB-Daten

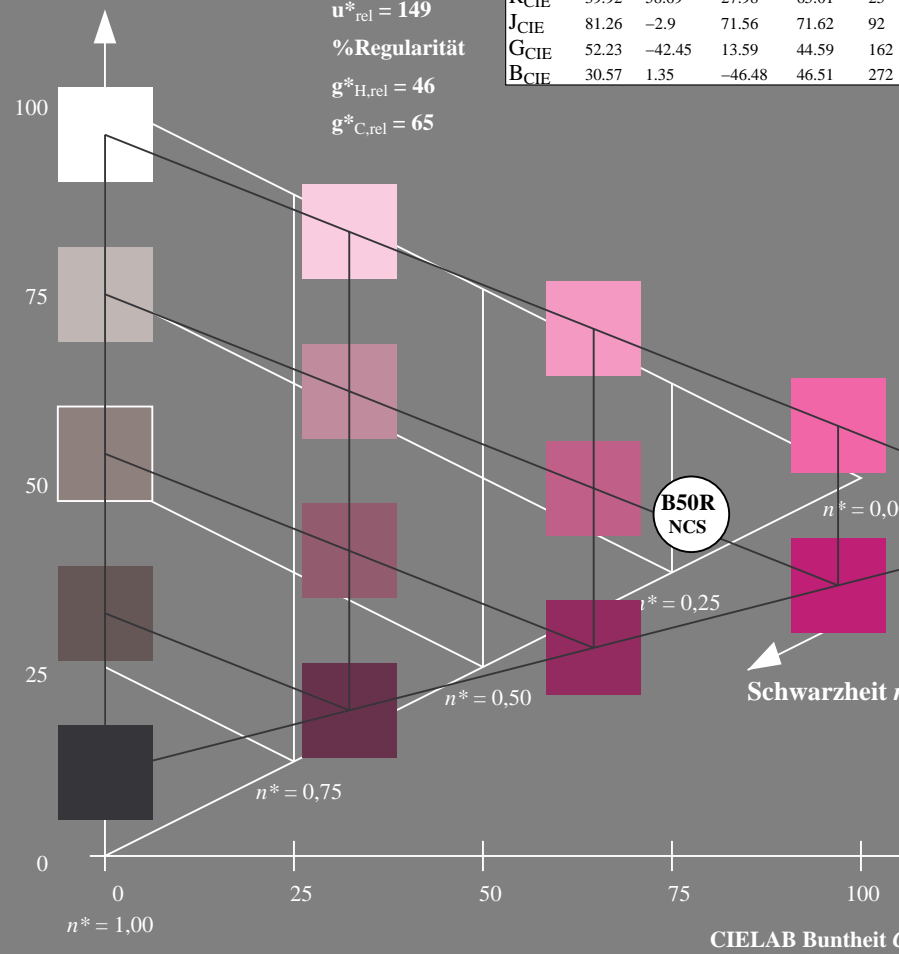
	$L^*=L_a^*$	$a_a^*$	$b_a^*$	$C_{ab,a}^*$	$h_{ab,a}^*$
R <sub>Ma</sub>	47.15	84.64	37.25	92.48	24
J <sub>Ma</sub>	91.37	-1.27	125.03	125.03	91
G <sub>Ma</sub>	63.07	-114.28	25.35	117.06	167
G50B <sub>Ma</sub>	59.47	-80.6	-33.45	87.28	203
B <sub>Ma</sub>	49.01	3.65	-81.19	81.28	273
B50R <sub>Ma</sub>	44.06	106.09	-73.93	129.32	325
N <sub>Ma</sub>	10.99	0.0	0.0	0.0	0
W <sub>Ma</sub>	95.41	0.0	0.0	0.0	0
R <sub>CIE</sub>	39.92	58.69	27.98	65.01	25
J <sub>CIE</sub>	81.26	-2.9	71.56	71.62	92
G <sub>CIE</sub>	52.23	-42.45	13.59	44.59	162
B <sub>CIE</sub>	30.57	1.35	-46.48	46.51	272

CIELAB-Helligkeit  $L^*$ 

%Umfang

 $u_{rel}^* = 149$ 

%Regularität

 $g_{H,rel}^* = 46$  $g_{C,rel}^* = 65$ 

UG390-7, 5 stufige Reihen für konstanten CIELAB Buntton 325/360 = 0.903 (links)

BAM-Prüfvorlage UG39; Farbmétrik-Systeme ORS18 &amp; ORS18input: cmy0\* setcmykcolor

D65: Koordinaten-Systeme von 5stufigen Farbreihen für 10 Bunttoninput: Startup (S) data dependend

Ausgabe: Farbmétrisches Reflexions-System NCS11

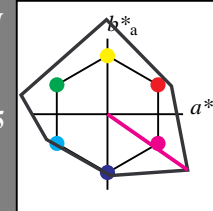
für Buntton  $h^* = lab^*h = 325/360 = 0.903$ 

LAB\*LCH, LAB\*NCH

D65: Buntton B50R

LCH\*Ma: 44 129 325

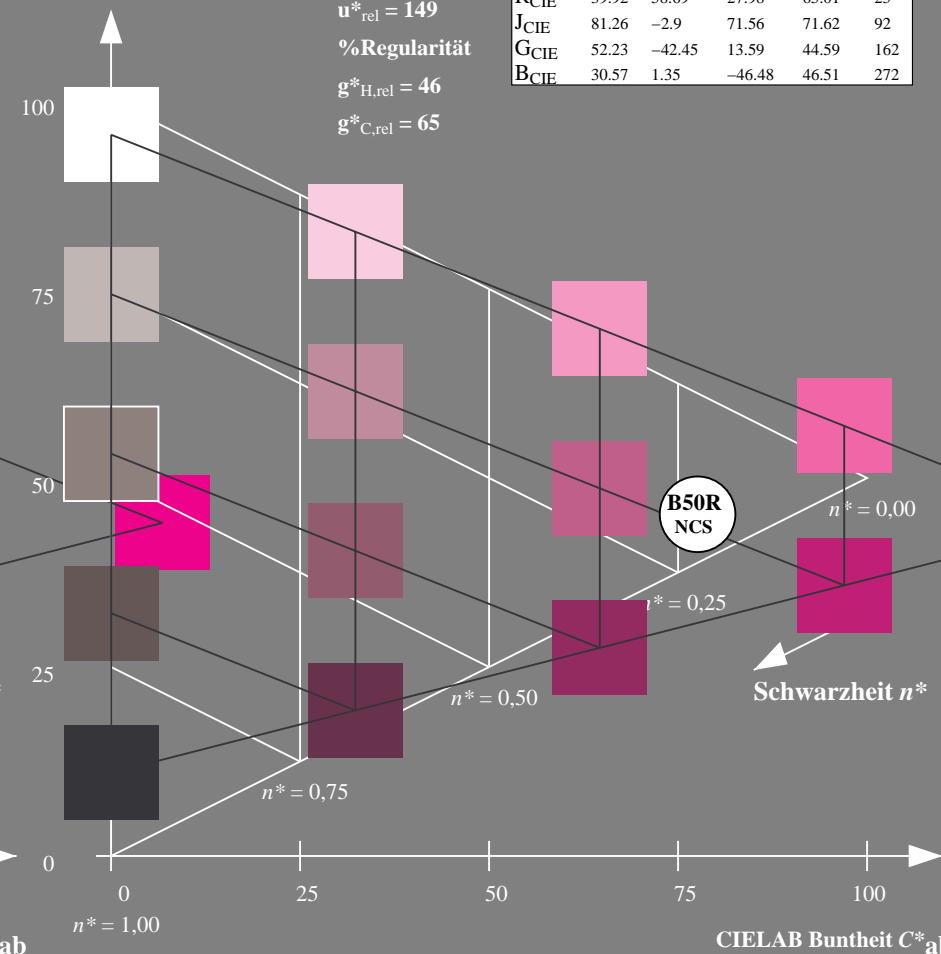
olv\*Ma: 1.0 0.0 1.0

CIELAB-Helligkeit  $L^*$ 

%Umfang

 $u_{rel}^* = 149$ 

%Regularität

 $g_{H,rel}^* = 46$  $g_{C,rel}^* = 65$ 

5 stufige Reihen für konstanten CIELAB Buntton 325/360 = 0.903 (rechts)



Eingabe: Farbmétrisches Reflexions-System NCS11

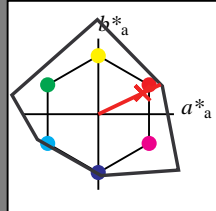
für Buntton  $h^* = lab \cdot h = 25/360 = 0.071$ 

LAB\*LCH, LAB\*NCH

D65: Buntton R

LCH\*Ma: 48 91 25

olv\*Ma: 1.0 0.02 0.0



NCS11; adaptierte CIELAB-Daten

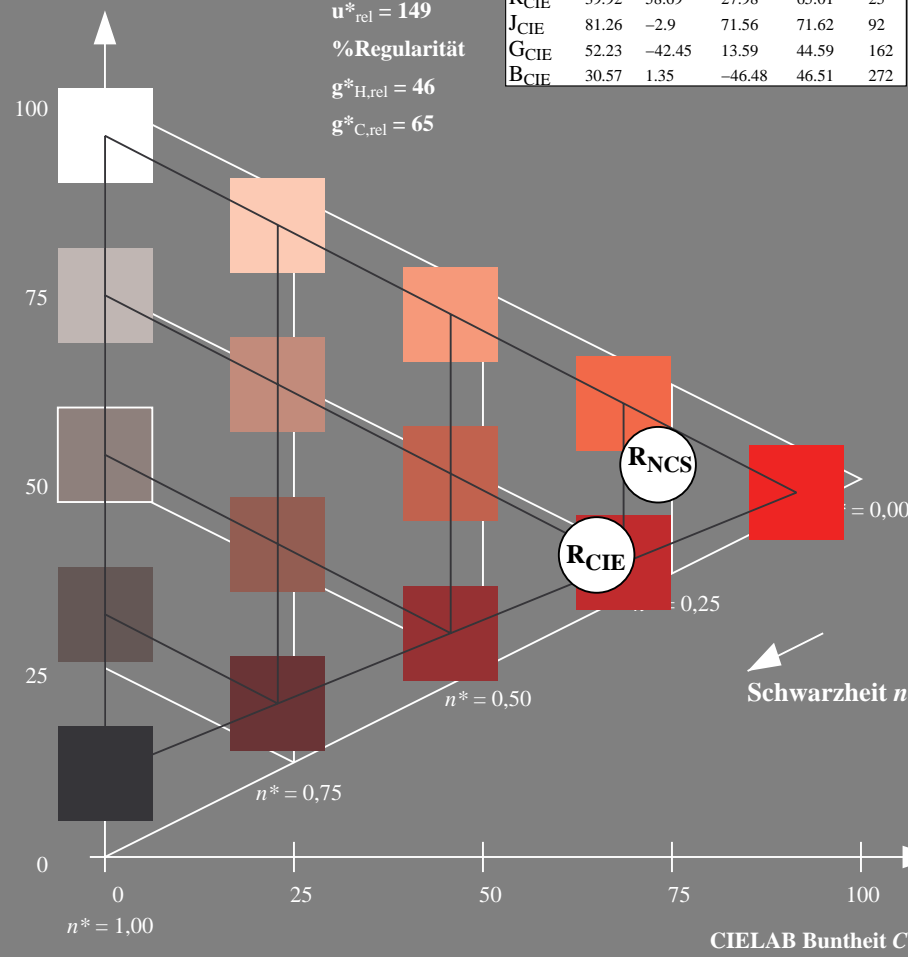
	$L^*=L^*_a$	$a^*_a$	$b^*_a$	$C^*_{ab,a}$	$h^*_{ab,a}$
R <sub>Ma</sub>	47.15	84.64	37.25	92.48	24
J <sub>Ma</sub>	91.37	-1.27	125.03	125.03	91
G <sub>Ma</sub>	63.07	-114.28	25.35	117.06	167
G50B <sub>Ma</sub>	59.47	-80.6	-33.45	87.28	203
B <sub>Ma</sub>	49.01	3.65	-81.19	81.28	273
B50R <sub>Ma</sub>	44.06	106.09	-73.93	129.32	325
N <sub>Ma</sub>	10.99	0.0	0.0	0.0	0
W <sub>Ma</sub>	95.41	0.0	0.0	0.0	0
R <sub>CIE</sub>	39.92	58.69	27.98	65.01	25
J <sub>CIE</sub>	81.26	-2.9	71.56	71.62	92
G <sub>CIE</sub>	52.23	-42.45	13.59	44.59	162
B <sub>CIE</sub>	30.57	1.35	-46.48	46.51	272

CIELAB-Helligkeit  $L^*$ 

%Umfang

 $u^*_{rel} = 149$ 

%Regularität

 $g^*_{H,rel} = 46$  $g^*_{C,rel} = 65$ 

UG390-7, 5 stufige Reihen für konstanten CIELAB Buntton 25/360 = 0.071 (links)

Ausgabe: Farbmétrisches Reflexions-System NCS11

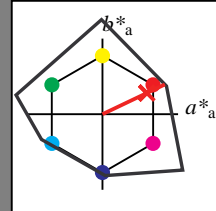
für Buntton  $h^* = lab \cdot h = 25/360 = 0.071$ 

LAB\*LCH, LAB\*NCH

D65: Buntton R

LCH\*Ma: 48 91 25

olv\*Ma: 1.0 0.02 0.0



NCS11; adaptierte CIELAB-Daten

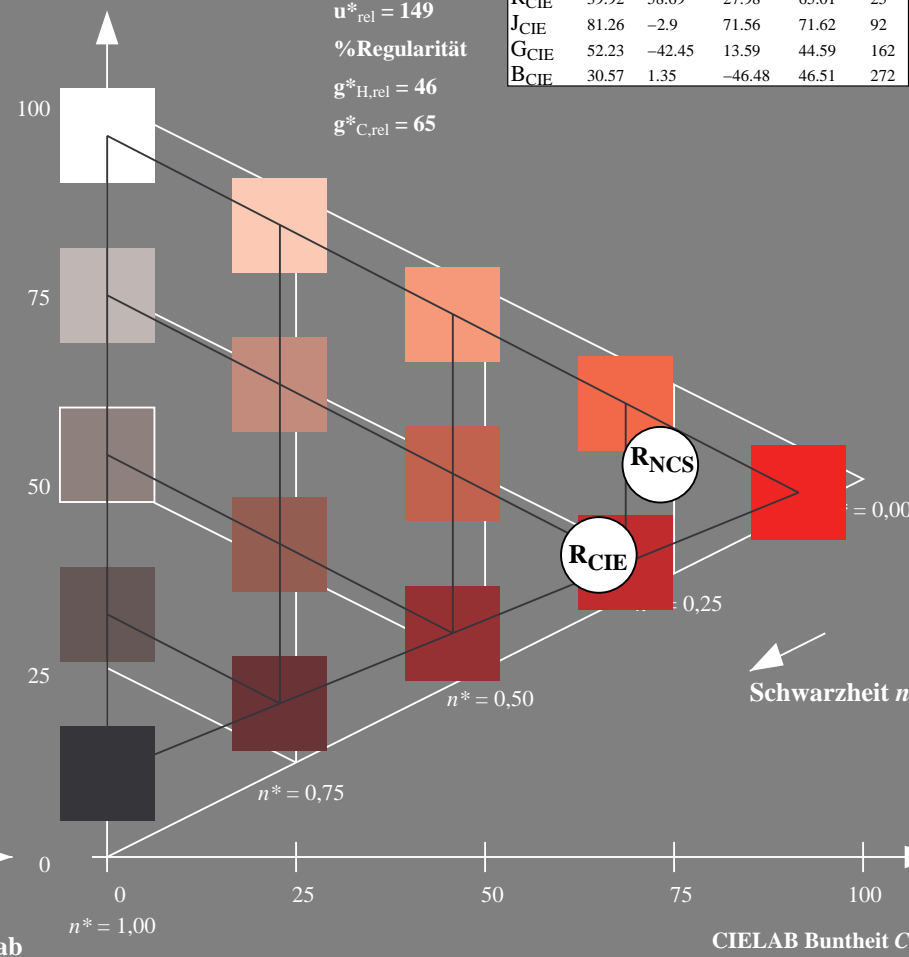
	$L^*=L^*_a$	$a^*_a$	$b^*_a$	$C^*_{ab,a}$	$h^*_{ab,a}$
R <sub>Ma</sub>	47.15	84.64	37.25	92.48	24
J <sub>Ma</sub>	91.37	-1.27	125.03	125.03	91
G <sub>Ma</sub>	63.07	-114.28	25.35	117.06	167
G50B <sub>Ma</sub>	59.47	-80.6	-33.45	87.28	203
B <sub>Ma</sub>	49.01	3.65	-81.19	81.28	273
B50R <sub>Ma</sub>	44.06	106.09	-73.93	129.32	325
N <sub>Ma</sub>	10.99	0.0	0.0	0.0	0
W <sub>Ma</sub>	95.41	0.0	0.0	0.0	0
R <sub>CIE</sub>	39.92	58.69	27.98	65.01	25
J <sub>CIE</sub>	81.26	-2.9	71.56	71.62	92
G <sub>CIE</sub>	52.23	-42.45	13.59	44.59	162
B <sub>CIE</sub>	30.57	1.35	-46.48	46.51	272

CIELAB-Helligkeit  $L^*$ 

%Umfang

 $u^*_{rel} = 149$ 

%Regularität

 $g^*_{H,rel} = 46$  $g^*_{C,rel} = 65$ 

5 stufige Reihen für konstanten CIELAB Buntton 25/360 = 0.071 (rechts)

BAM-Prüfvorlage UG39; Farbmétrik-Systeme ORS18 &amp; ORS18input: cmy0\* setcmykcolor

D65: Koordinaten-Systeme von 5stufigen Farbreihen für 10 Bunttoninput: Startup (S) data dependend

Eingabe: Farbmatisches Reflexions-System NCS11

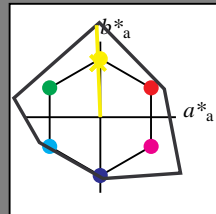
für Buntton  $h^* = lab \cdot h = 92/360 = 0.256$ 

LAB\*LCH, LAB\*NCH

D65: Buntton J

LCH\*Ma: 90 122 92

olv\*Ma: 0.97 1.0 0.0



NCS11; adaptierte CIELAB-Daten

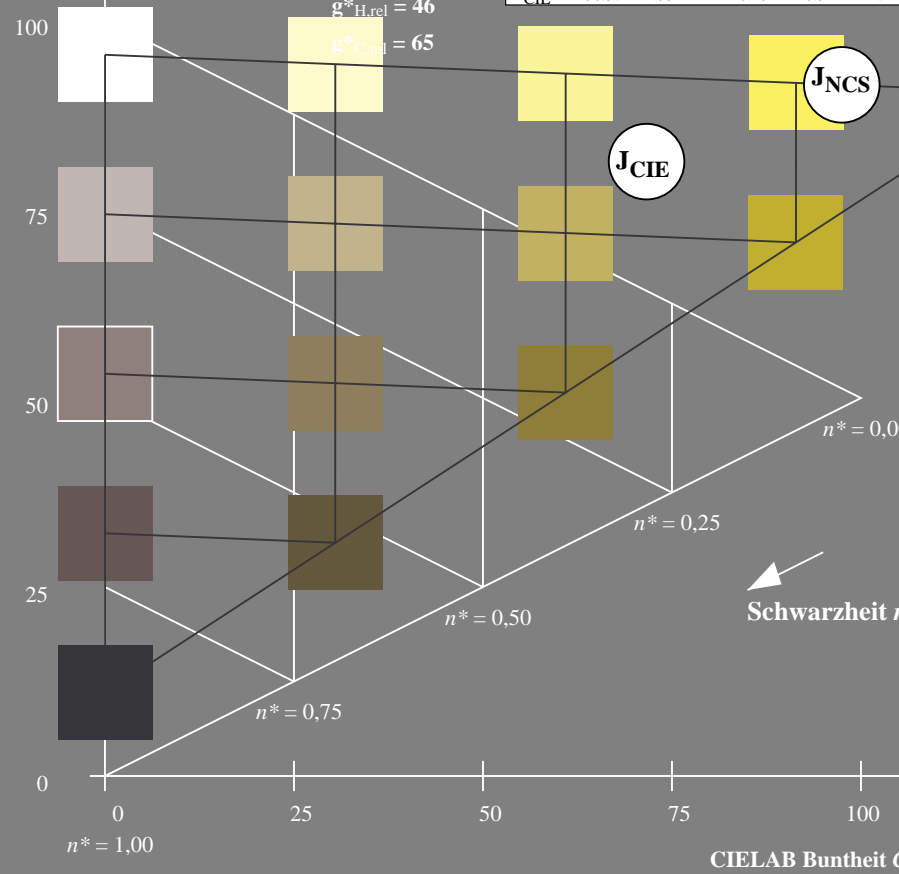
	$L^* = L^*_a$	$a^*_a$	$b^*_a$	$C^*_{ab,a}$	$h^*_{ab,a}$
R <sub>Ma</sub>	47.15	84.64	37.25	92.48	24
J <sub>Ma</sub>	91.37	-1.27	125.03	125.03	91
G <sub>Ma</sub>	63.07	-114.28	25.35	117.06	167
G50B <sub>Ma</sub>	59.47	-80.6	-33.45	87.28	203
B <sub>Ma</sub>	49.01	3.65	-81.19	81.28	273
B50R <sub>Ma</sub>	44.06	106.09	-73.93	129.32	325
N <sub>Ma</sub>	10.99	0.0	0.0	0.0	0
W <sub>Ma</sub>	95.41	0.0	0.0	0.0	0
R <sub>CIE</sub>	39.92	58.69	27.98	65.01	25
J <sub>CIE</sub>	81.26	-2.9	71.56	71.62	92
G <sub>CIE</sub>	52.23	-42.45	13.59	44.59	162
B <sub>CIE</sub>	30.57	1.35	-46.48	46.51	272

CIELAB-Helligkeit  $L^*$ 

%Umfang

 $u^*_{rel} = 149$ 

%Regularität

 $g^*_{H,rel} = 46$  $g^*_{C,rel} = 65$ 

UG390-7, 5 stufige Reihen für konstanten CIELAB Buntton 92/360 = 0.256 (links)

Ausgabe: Farbmatisches Reflexions-System NCS11

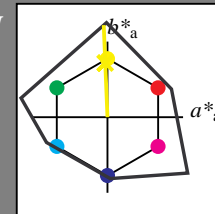
für Buntton  $h^* = lab \cdot h = 92/360 = 0.256$ 

LAB\*LCH, LAB\*NCH

D65: Buntton J

LCH\*Ma: 90 122 92

olv\*Ma: 0.97 1.0 0.0



NCS11; adaptierte CIELAB-Daten

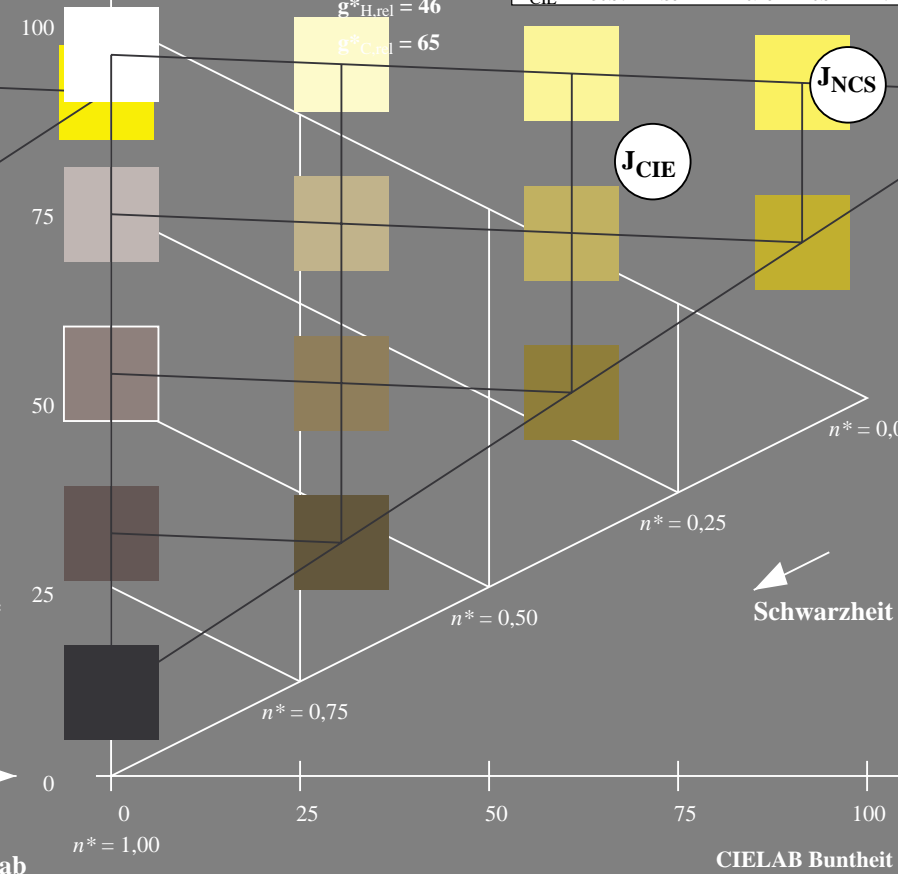
	$L^* = L^*_a$	$a^*_a$	$b^*_a$	$C^*_{ab,a}$	$h^*_{ab,a}$
R <sub>Ma</sub>	47.15	84.64	37.25	92.48	24
J <sub>Ma</sub>	91.37	-1.27	125.03	125.03	91
G <sub>Ma</sub>	63.07	-114.28	25.35	117.06	167
G50B <sub>Ma</sub>	59.47	-80.6	-33.45	87.28	203
B <sub>Ma</sub>	49.01	3.65	-81.19	81.28	273
B50R <sub>Ma</sub>	44.06	106.09	-73.93	129.32	325
N <sub>Ma</sub>	10.99	0.0	0.0	0.0	0
W <sub>Ma</sub>	95.41	0.0	0.0	0.0	0
R <sub>CIE</sub>	39.92	58.69	27.98	65.01	25
J <sub>CIE</sub>	81.26	-2.9	71.56	71.62	92
G <sub>CIE</sub>	52.23	-42.45	13.59	44.59	162
B <sub>CIE</sub>	30.57	1.35	-46.48	46.51	272

CIELAB-Helligkeit  $L^*$ 

%Umfang

 $u^*_{rel} = 149$ 

%Regularität

 $g^*_{H,rel} = 46$  $g^*_{C,rel} = 65$ 

5 stufige Reihen für konstanten CIELAB Buntton 92/360 = 0.256 (rechts)

BAM-Prüfvorlage UG39; Farbmatrik-Systeme ORS18 &amp; ORS18input: cmy0\* setcmykcolor

D65: Koordinaten-Systeme von 5stufigen Farbreihen für 10 Bunttoninput: Startup (S) data dependend



Eingabe: Farbmimetrisches Reflexions-System NCS11

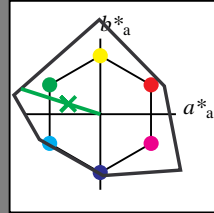
für Buntton  $h^* = lab \cdot h = 162/360 = 0.451$ 

LAB\*LCH, LAB\*NCH

D65: Buntton G

LCH\*Ma: 65 110 162

olv\*Ma: 0.08 1.0 0.0



NCS11; adaptierte CIELAB-Daten

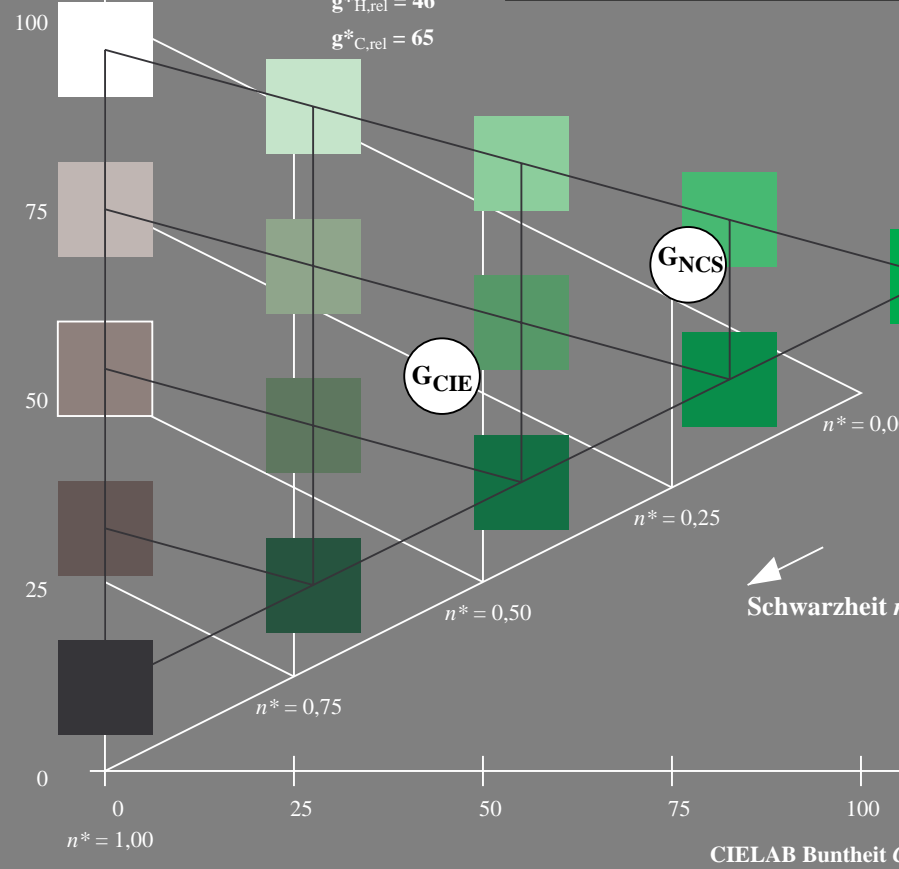
	$L^* = L^*_a$	$a^*_a$	$b^*_a$	$C^*_{ab,a}$	$h^*_{ab,a}$
R <sub>Ma</sub>	47.15	84.64	37.25	92.48	24
J <sub>Ma</sub>	91.37	-1.27	125.03	125.03	91
G <sub>Ma</sub>	63.07	-114.28	25.35	117.06	167
G50B <sub>Ma</sub>	59.47	-80.6	-33.45	87.28	203
B <sub>Ma</sub>	49.01	3.65	-81.19	81.28	273
B50R <sub>Ma</sub>	44.06	106.09	-73.93	129.32	325
N <sub>Ma</sub>	10.99	0.0	0.0	0.0	0
W <sub>Ma</sub>	95.41	0.0	0.0	0.0	0
R <sub>CIE</sub>	39.92	58.69	27.98	65.01	25
J <sub>CIE</sub>	81.26	-2.9	71.56	71.62	92
G <sub>CIE</sub>	52.23	-42.45	13.59	44.59	162
B <sub>CIE</sub>	30.57	1.35	-46.48	46.51	272

CIELAB-Helligkeit  $L^*$ 

%Umfang

 $u^*_{rel} = 149$ 

%Regularität

 $g^*_{H,rel} = 46$  $g^*_{C,rel} = 65$ UG390-7, 5 stufige Reihen für konstanten CIELAB Buntton  $162/360 = 0.451$  (links)

Ausgabe: Farbmimetrisches Reflexions-System NCS11

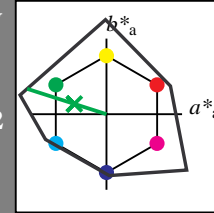
für Buntton  $h^* = lab \cdot h = 162/360 = 0.451$ 

LAB\*LCH, LAB\*NCH

D65: Buntton G

LCH\*Ma: 65 110 162

olv\*Ma: 0.08 1.0 0.0



NCS11; adaptierte CIELAB-Daten

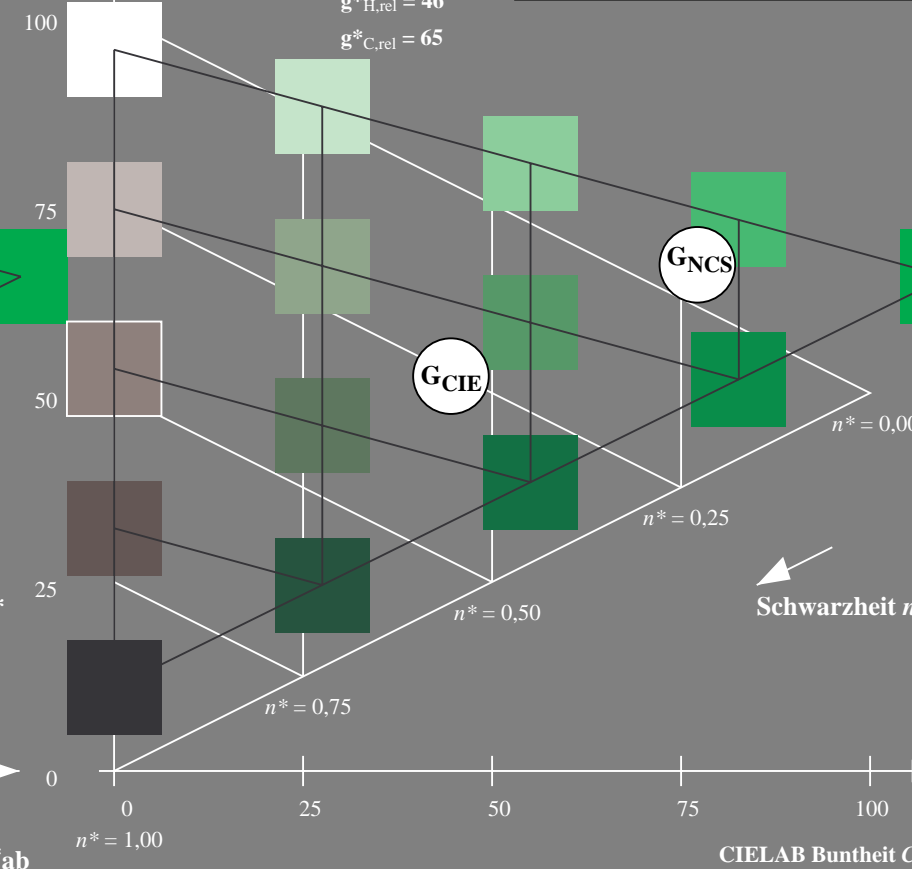
	$L^* = L^*_a$	$a^*_a$	$b^*_a$	$C^*_{ab,a}$	$h^*_{ab,a}$
R <sub>Ma</sub>	47.15	84.64	37.25	92.48	24
J <sub>Ma</sub>	91.37	-1.27	125.03	125.03	91
G <sub>Ma</sub>	63.07	-114.28	25.35	117.06	167
G50B <sub>Ma</sub>	59.47	-80.6	-33.45	87.28	203
B <sub>Ma</sub>	49.01	3.65	-81.19	81.28	273
B50R <sub>Ma</sub>	44.06	106.09	-73.93	129.32	325
N <sub>Ma</sub>	10.99	0.0	0.0	0.0	0
W <sub>Ma</sub>	95.41	0.0	0.0	0.0	0
R <sub>CIE</sub>	39.92	58.69	27.98	65.01	25
J <sub>CIE</sub>	81.26	-2.9	71.56	71.62	92
G <sub>CIE</sub>	52.23	-42.45	13.59	44.59	162
B <sub>CIE</sub>	30.57	1.35	-46.48	46.51	272

CIELAB-Helligkeit  $L^*$ 

%Umfang

 $u^*_{rel} = 149$ 

%Regularität

 $g^*_{H,rel} = 46$  $g^*_{C,rel} = 65$ 5 stufige Reihen für konstanten CIELAB Buntton  $162/360 = 0.451$  (rechts)BAM-Prüfvorlage UG39; Farbmimetrische Systeme ORS18 & ORS18input: *cmY0\* setcmykcolor*D65: Koordinaten-Systeme von 5stufigen Farbreihen für 10 Bunttoninput: *Startup (S) data dependend*

Eingabe: Farbmétrisches Reflexions-System NCS11

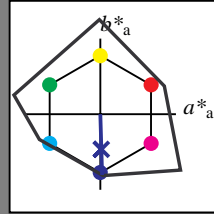
für Buntton  $h^* = lab \cdot h = 272/360 = 0.755$ 

LAB\*LCH, LAB\*NCH

D65: Buntton B

LCH\*Ma: 49 80 272

olv\*Ma: 0.0 0.02 1.0



NCS11; adaptierte CIELAB-Daten

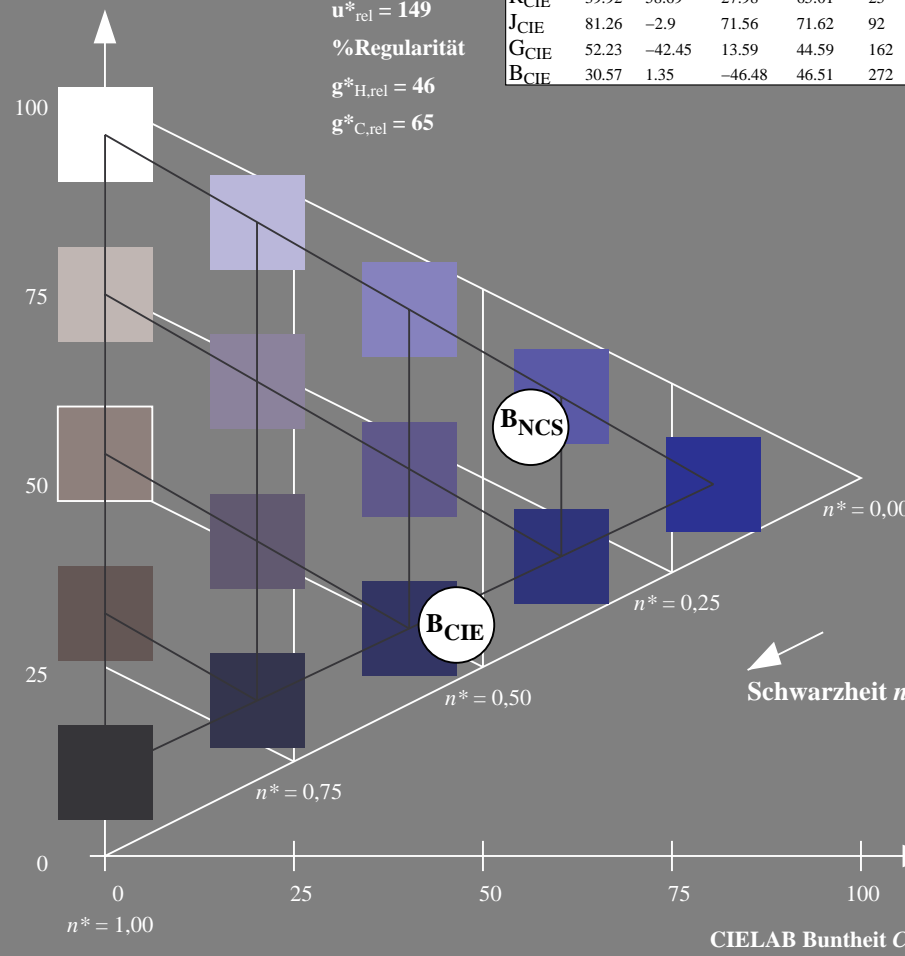
	$L^*=L_a^*$	$a_a^*$	$b_a^*$	$C_{ab,a}^*$	$h_{ab,a}^*$
R <sub>Ma</sub>	47.15	84.64	37.25	92.48	24
J <sub>Ma</sub>	91.37	-1.27	125.03	125.03	91
G <sub>Ma</sub>	63.07	-114.28	25.35	117.06	167
G50B <sub>Ma</sub>	59.47	-80.6	-33.45	87.28	203
B <sub>Ma</sub>	49.01	3.65	-81.19	81.28	273
B50R <sub>Ma</sub>	44.06	106.09	-73.93	129.32	325
N <sub>Ma</sub>	10.99	0.0	0.0	0.0	0
W <sub>Ma</sub>	95.41	0.0	0.0	0.0	0
R <sub>CIE</sub>	39.92	58.69	27.98	65.01	25
J <sub>CIE</sub>	81.26	-2.9	71.56	71.62	92
G <sub>CIE</sub>	52.23	-42.45	13.59	44.59	162
B <sub>CIE</sub>	30.57	1.35	-46.48	46.51	272

CIELAB-Helligkeit  $L^*$ 

%Umfang

 $u_{rel}^* = 149$ 

%Regularität

 $g_{H,rel}^* = 46$  $g_{C,rel}^* = 65$ UG390-7, 5 stufige Reihen für konstanten CIELAB Buntton  $272/360 = 0.755$  (links)

Ausgabe: Farbmétrisches Reflexions-System NCS11

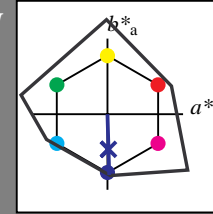
für Buntton  $h^* = lab \cdot h = 272/360 = 0.755$ 

LAB\*LCH, LAB\*NCH

D65: Buntton B

LCH\*Ma: 49 80 272

olv\*Ma: 0.0 0.02 1.0



NCS11; adaptierte CIELAB-Daten

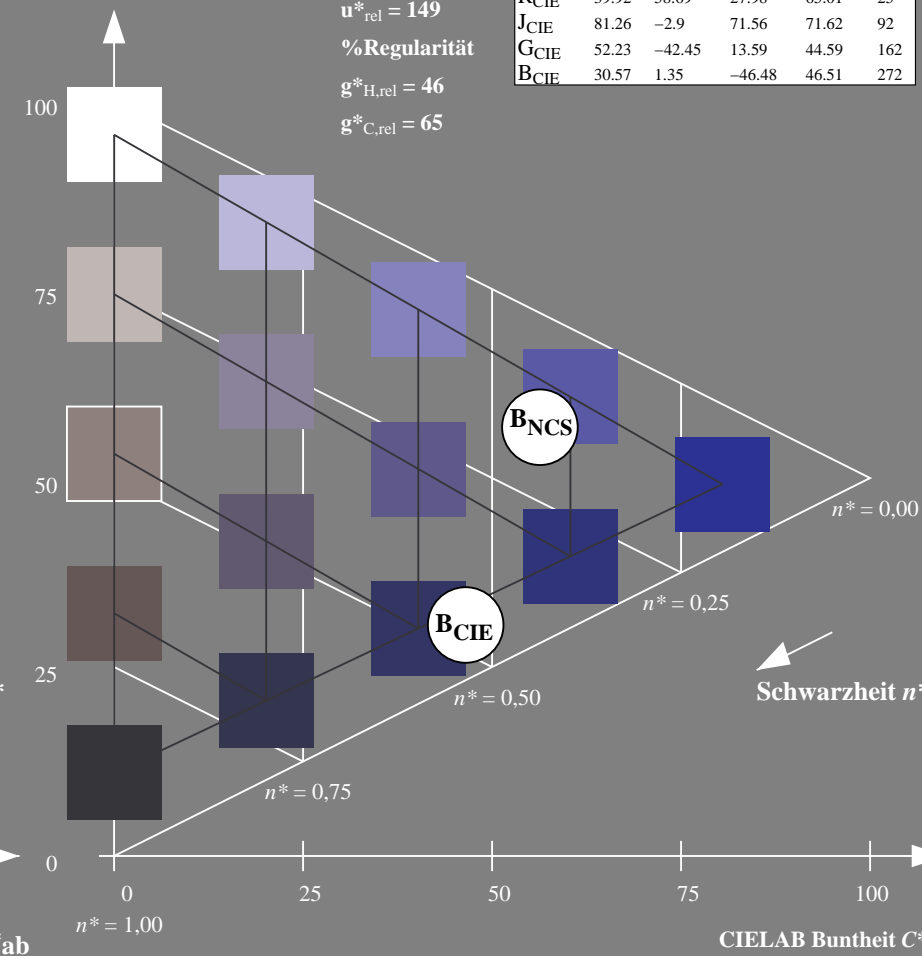
	$L^*=L_a^*$	$a_a^*$	$b_a^*$	$C_{ab,a}^*$	$h_{ab,a}^*$
R <sub>Ma</sub>	47.15	84.64	37.25	92.48	24
J <sub>Ma</sub>	91.37	-1.27	125.03	125.03	91
G <sub>Ma</sub>	63.07	-114.28	25.35	117.06	167
G50B <sub>Ma</sub>	59.47	-80.6	-33.45	87.28	203
B <sub>Ma</sub>	49.01	3.65	-81.19	81.28	273
B50R <sub>Ma</sub>	44.06	106.09	-73.93	129.32	325
N <sub>Ma</sub>	10.99	0.0	0.0	0.0	0
W <sub>Ma</sub>	95.41	0.0	0.0	0.0	0
R <sub>CIE</sub>	39.92	58.69	27.98	65.01	25
J <sub>CIE</sub>	81.26	-2.9	71.56	71.62	92
G <sub>CIE</sub>	52.23	-42.45	13.59	44.59	162
B <sub>CIE</sub>	30.57	1.35	-46.48	46.51	272

CIELAB-Helligkeit  $L^*$ 

%Umfang

 $u_{rel}^* = 149$ 

%Regularität

 $g_{H,rel}^* = 46$  $g_{C,rel}^* = 65$ 5 stufige Reihen für konstanten CIELAB Buntton  $272/360 = 0.755$  (rechts)BAM-Prüfvorlage UG39; Farbmétrik-Systeme ORS18 & ORS18input: *cmY0\* setcmykcolor*D65: Koordinaten-Systeme von 5stufigen Farbreihen für 10 Bunttoninput: *Startup (S) data dependend*